



# **Решение дифф. уравнений на CUDA на примере задач аэро-гидродинамики.**

⌘ Лектор:

☑ Сахарных Н.А. (ВМиК МГУ, NVidia)

# План



- ⌘ Введение и постановка задачи
- ⌘ Основные уравнения
- ⌘ Численный метод расщепления
- ⌘ Особенности реализации
- ⌘ Результаты и выводы

# Введение



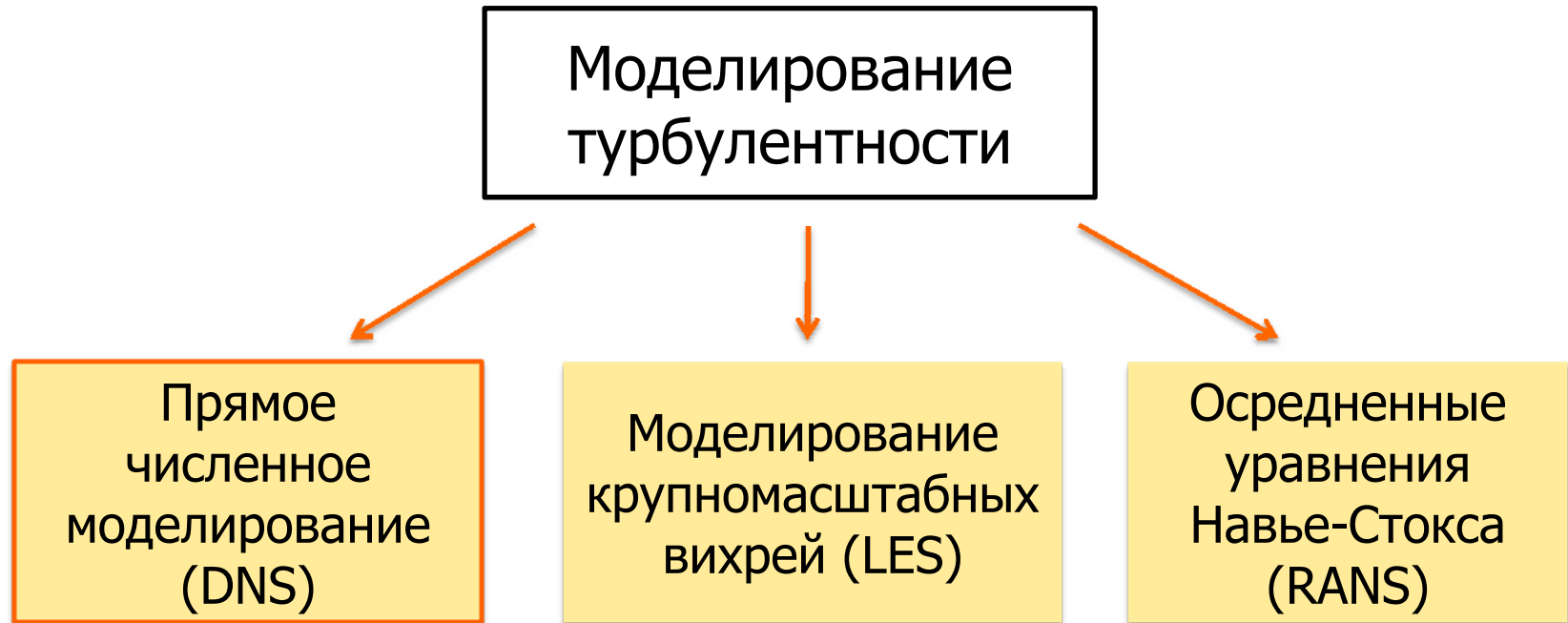
⌘ Вычислительные задачи аэро-  
гидродинамики

☐ Моделирование турбулентных течений

⌘ ВМиК МГУ, кафедра мат. физики

☐ Пасконов В.М., Березин С.Б.

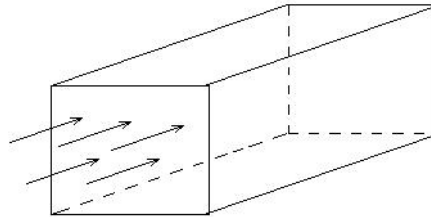
# Турбулентность



- все масштабы турбулентности
- очень затратный

# Постановка задачи

⌘ Течение вязкой несжимаемой жидкости в 3D канале



- ☒ Канал заполнен и находится в однородной среде
- ☒ Произвольные начальные и граничные условия
- ☒ Неизвестные величины – скорость и температура

# Основные уравнения



- ⌘ Полная система уравнений Навье-Стокса в безразмерных величинах
  - ☐ Уравнение неразрывности
  - ☐ Уравнения движения (Навье-Стокса)
  - ☐ Уравнение энергии

# Обозначения

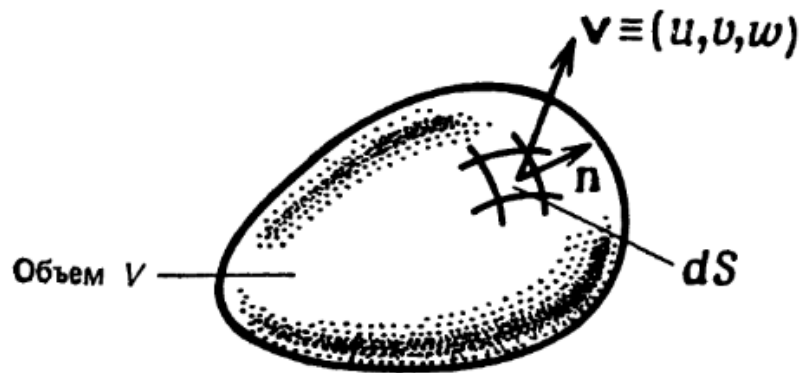


Плотность	$\rho = \text{const} = 1$
Скорость	$\mathbf{u} = (u, v, w)$
Температура	$T$
Давление	$p$

⌘ Уравнение состояния  $p = \rho RT = RT$

$R$  — газовая постоянная

# Уравнение неразрывности



$$\frac{\partial \rho}{\partial t} + \nabla \cdot (\rho \mathbf{v}) = 0$$

$$\rho = \text{const}$$

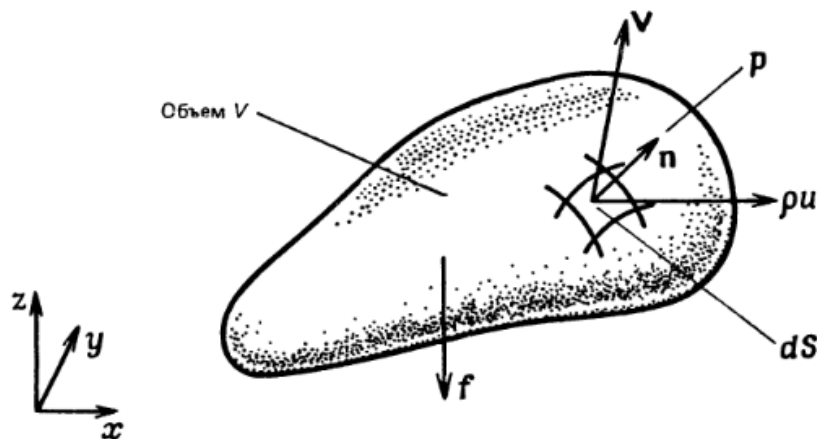
$$\frac{\partial u}{\partial x} + \frac{\partial v}{\partial y} + \frac{\partial w}{\partial z} = 0$$

- ⌘ Используется при выводе остальных уравнений (движения и энергии)
- ⌘ Проверка точности текущего решения



# Уравнения Навье-Стокса

⌘ Второй закон Ньютона:  $\int_V \rho \frac{D\mathbf{v}}{Dt} dV = \sum \mathbf{F}$



## Невязкая жидкость:

$$\sum \mathbf{F} = \int_V (\rho \mathbf{f} - \nabla p) dV$$

## Вязкая жидкость:

$$\sum \mathbf{F} = \int_V (\rho \mathbf{f} - \nabla p + \nabla \cdot \boldsymbol{\tau}) dV$$

**f** – массовые силы (сила тяжести)

$\tau$  – тензор вязких напряжений

$p$  – давление

# Безразмерные уравнения

## ⌘ Параметры подобия

☒ Число Рейнольдса

$$\text{Re} = \frac{V' L'}{\mu'}$$

$$\text{Pr} = \frac{\mu' c_p'}{k'}$$

☒ Число Прандтля

$V', L'$  – характерная скорость, размер

$\mu'$  – динамическая вязкость среды

$k'$  – коэффициент теплопроводности

$c_p'$  – удельная теплоемкость

⌘ Уравнение состояния для идеального газа/жидкости:

$$p = \rho R T$$

# Уравнения движения

⌘ Безразмерная форма:

$$\frac{\partial \mathbf{u}}{\partial t} + \mathbf{u} \cdot \nabla \mathbf{u} = -\nabla T + \frac{1}{\text{Re}} \nabla^2 \mathbf{u}$$

☐ Не рассматриваем массовые силы  $\mathbf{f} = 0$

☐ Уравнение состояния  $p = T$

# Уравнение энергии

⌘ Первый закон термодинамики для объема V:

$$\frac{\partial T}{\partial t} + \mathbf{u} \cdot \nabla T = -\nabla T + \frac{1}{\text{Pr} \cdot \text{Re}} \Delta T + \frac{\gamma - 1}{\gamma \cdot \text{Re}} \Phi$$

⌘ Диссипативная функция:

$$\begin{aligned} \Phi &= \Phi_x + \Phi_y + \Phi_z \\ \Phi_x &= 2 \left( \frac{\partial u}{\partial x} \right)^2 + \left( \frac{\partial v}{\partial x} \right)^2 + \left( \frac{\partial w}{\partial x} \right)^2 + \frac{\partial v}{\partial x} \frac{\partial u}{\partial y} + \frac{\partial w}{\partial x} \frac{\partial u}{\partial z} \\ \Phi_y &= \left( \frac{\partial u}{\partial y} \right)^2 + 2 \left( \frac{\partial v}{\partial y} \right)^2 + \left( \frac{\partial w}{\partial y} \right)^2 + \frac{\partial u}{\partial y} \frac{\partial v}{\partial x} + \frac{\partial w}{\partial y} \frac{\partial v}{\partial z} \\ \Phi_z &= \left( \frac{\partial u}{\partial z} \right)^2 + \left( \frac{\partial v}{\partial z} \right)^2 + 2 \left( \frac{\partial w}{\partial z} \right)^2 + \frac{\partial u}{\partial z} \frac{\partial w}{\partial x} + \frac{\partial v}{\partial z} \frac{\partial w}{\partial y} \end{aligned}$$

# Финальные уравнения

⌘ 4 нелинейных уравнения

$$\left\{ \begin{array}{l} \frac{\partial \mathbf{u}}{\partial t} + \mathbf{u} \cdot \nabla \mathbf{u} = -\nabla T + \frac{1}{\text{Re}} \nabla^2 \mathbf{u} \\ \frac{\partial T}{\partial t} + \mathbf{u} \cdot \nabla T = -\nabla T + \frac{1}{\text{Pr} \cdot \text{Re}} \Delta T + \frac{\gamma - 1}{\gamma \cdot \text{Re}} \Phi \end{array} \right.$$

⌘ 4 неизвестные величины:

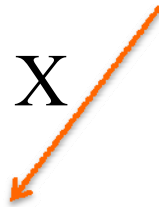
☐ Компоненты скорости:  $u, v, w$

☐ Температура:  $T$

# Численный метод

## ⌘ Расщепление по координатам

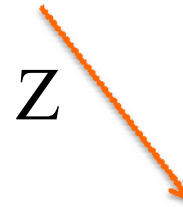
$$\frac{\partial u}{\partial t} = \frac{\partial^2 u}{\partial x^2} + \frac{\partial^2 u}{\partial y^2} + \frac{\partial^2 u}{\partial z^2}$$

X  


$$\frac{\partial u}{\partial t} = \frac{\partial^2 u}{\partial x^2}$$

Y  


$$\frac{\partial u}{\partial t} = \frac{\partial^2 u}{\partial y^2}$$

Z  


$$\frac{\partial u}{\partial t} = \frac{\partial^2 u}{\partial z^2}$$

# Уравнение диффузии

⌘ 3 дробных шага – X, Y, Z

⌘ Неявная конечно-разностная схема

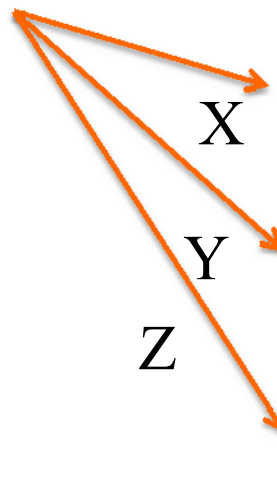
$$\boxed{\frac{\partial u}{\partial t} = \frac{\partial^2 u}{\partial x^2}} \longrightarrow \frac{u_{i,j,k}^{n+1/3} - u_{i,j,k}^n}{\Delta t} = \frac{u_{i+1,j,k}^{n+1/3} - 2u_{i,j,k}^{n+1/3} + u_{i-1,j,k}^{n+1/3}}{\Delta x^2}$$

$$q = 2 + \frac{\Delta x^2}{\Delta t} \begin{pmatrix} q & -1 & & 0 \\ -1 & q & -1 & \\ & -1 & q & -1 \\ & & -1 & \ddots & -1 \\ 0 & & & -1 & q \end{pmatrix} \cdot \begin{pmatrix} u_{1,j,k}^{n+1/3} \\ \vdots \\ u_{i,j,k}^{n+1/3} \\ \vdots \\ u_{nx,j,k}^{n+1/3} \end{pmatrix} = \frac{\Delta x^2}{\Delta t} \begin{pmatrix} u_{1,j,k}^n \\ \vdots \\ u_{i,j,k}^n \\ \vdots \\ u_{nx,j,k}^n \end{pmatrix}$$

# Уравнения Навье-Стокса

## ⌘ Уравнение для X-компоненты скорости

$$\frac{\partial u}{\partial t} + u \frac{\partial u}{\partial x} + v \frac{\partial u}{\partial y} + w \frac{\partial u}{\partial z} = -\frac{\partial T}{\partial x} + \frac{1}{\text{Re}} \left( \frac{\partial^2 u}{\partial x^2} + \frac{\partial^2 u}{\partial y^2} + \frac{\partial^2 u}{\partial z^2} \right)$$



X

$$\frac{\partial u}{\partial t} + u \frac{\partial u}{\partial x} = -\frac{\partial T}{\partial x} + \frac{1}{\text{Re}} \left( \frac{\partial^2 u}{\partial x^2} \right)$$

Y

$$\frac{\partial u}{\partial t} + v \frac{\partial u}{\partial y} = \frac{1}{\text{Re}} \left( \frac{\partial^2 u}{\partial y^2} \right)$$

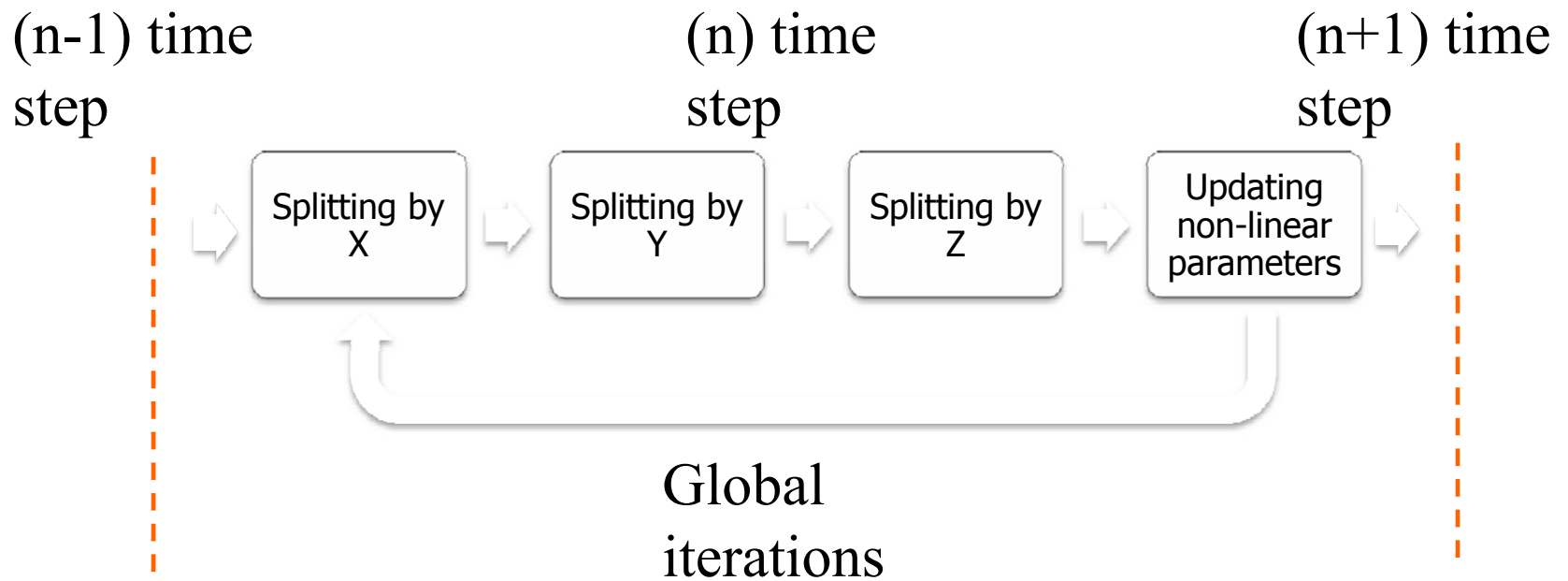
Z

$$\frac{\partial u}{\partial t} + w \frac{\partial u}{\partial z} = \frac{1}{\text{Re}} \left( \frac{\partial^2 u}{\partial z^2} \right)$$

⏏ + итерации по нелинейности

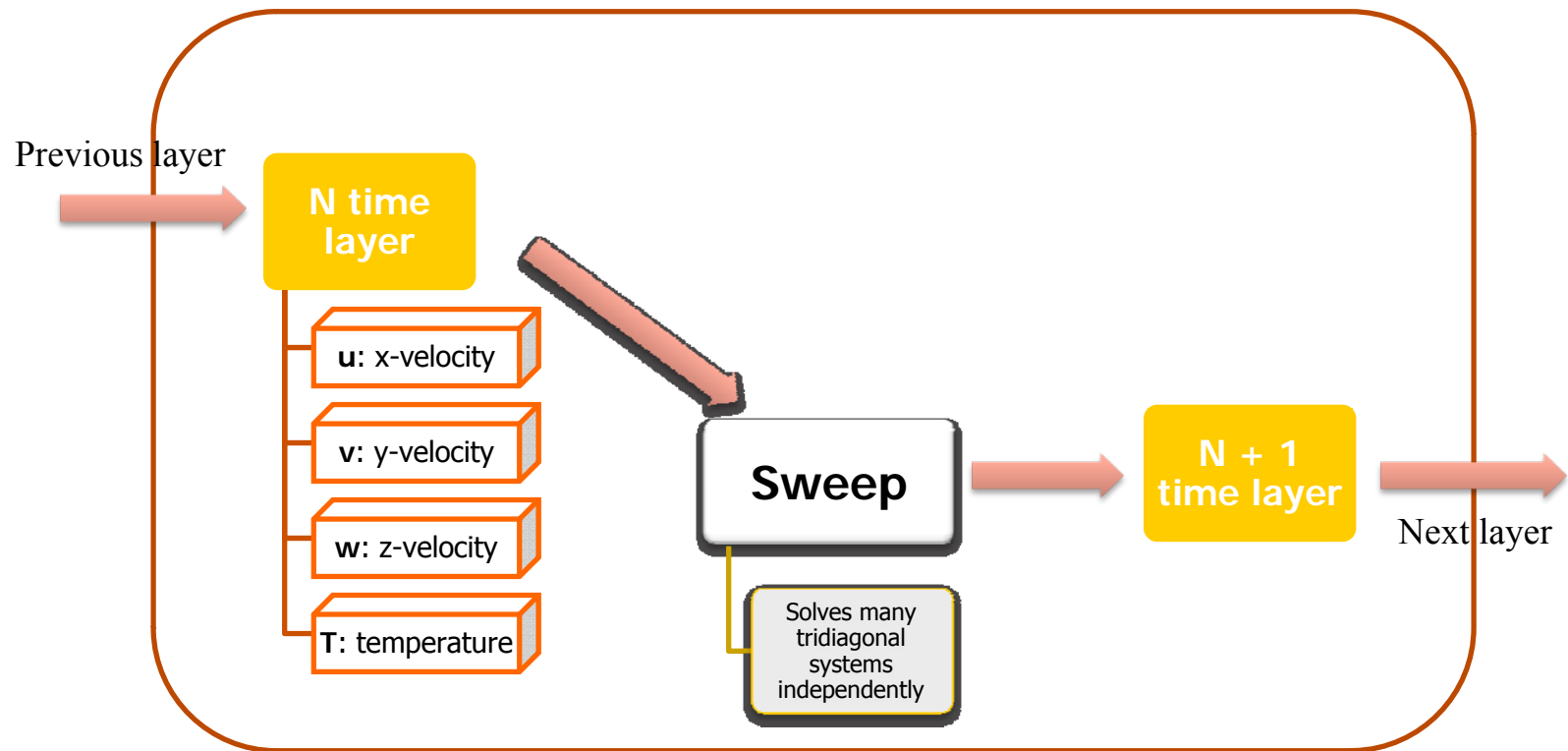


# Шаг по времени



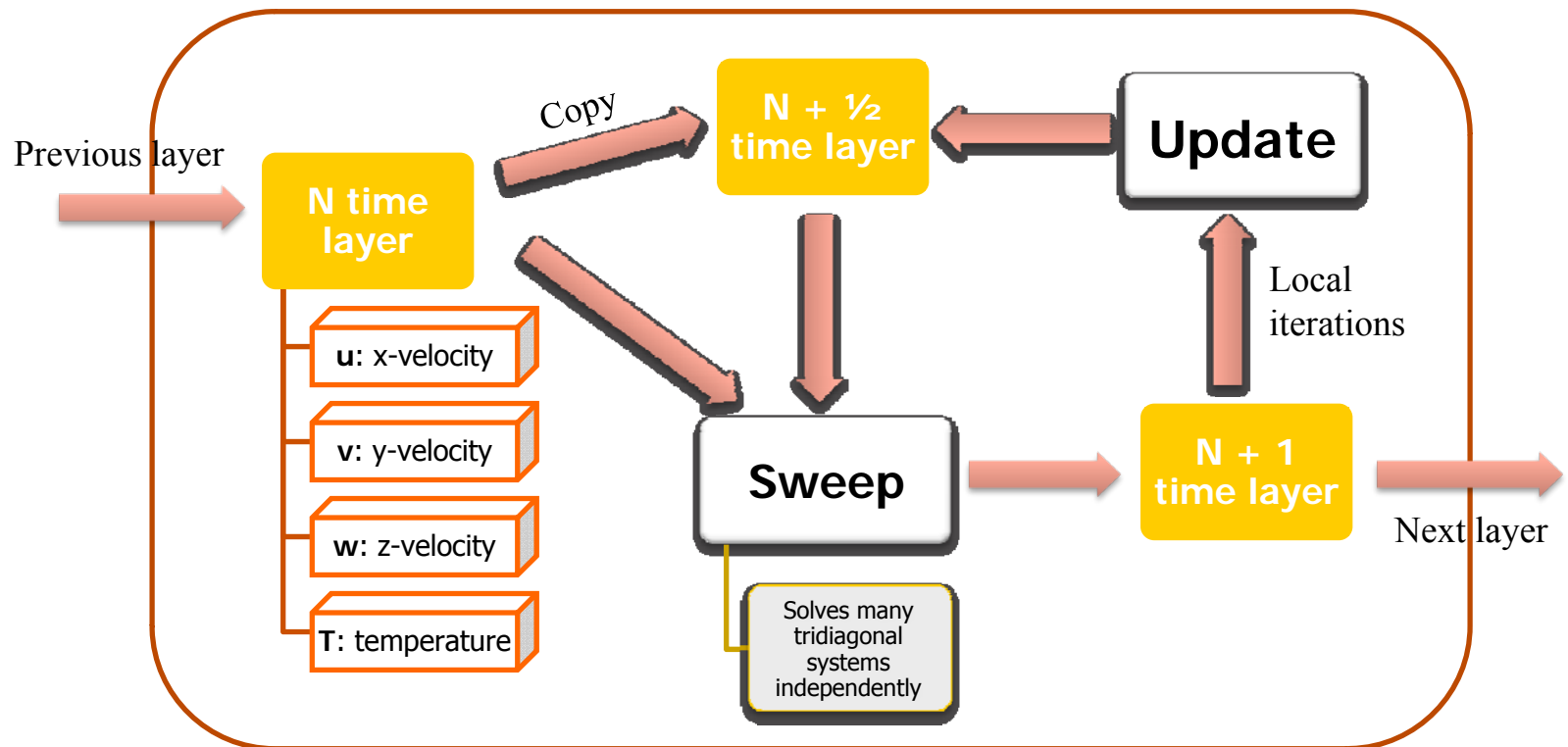
# Дробный шаг

## ⌘ Линейное PDEs



# Дробный шаг

## ⌘ Нелинейные PDEs



# Стадии алгоритма



- ⌘ Решение большого количества трехдиагональных СЛАУ
- ⌘ Вычисление диссипации в каждой ячейке сетки
- ⌘ Обновление нелинейных параметров

# Особенности метода



⌘ Большой объем обрабатываемых данных

⌘ Высокая арифметическая интенсивность

⌘ Легко параллелится

# Реализация на CUDA



⌘ Все данные хранятся в памяти GPU

☑ 4 скалярных 3D массива для каждой переменной ( $u$ ,  $v$ ,  $w$ ,  $T$ )

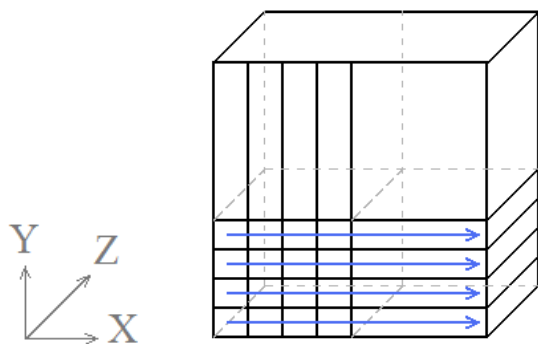
☑ 3 дополнительных 3D массива

⌘  $\sim 1\text{GB}$  для сетки  $192^3$  в double

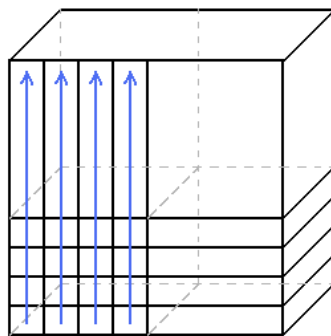
# Решение трехдиагональных СЛАУ

⌘ Каждая нить решает ровно одну  
трехдиагональную СЛАУ

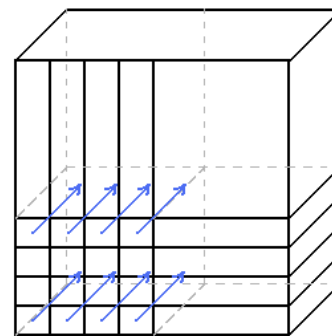
☑ На каждом шаге  $N^2$  независимых систем



Расщепление X



Расщепление Y



Расщепление Z

# Метод прогонки



⌘ Необходимо 2 дополнительных массива

☐ хранение: локальная память

⌘ Прямой ход

☐ вычисление  $a[i]$ ,  $b[i]$

⌘ Обратный ход

☐  $x[i] = a[i+1] * x[i+1] + b[i+1]$



# Проблемы реализации

⌘ Каждая нить последовательно читает и пишет столбец 3D массива

☐ Коэффициенты и правая часть

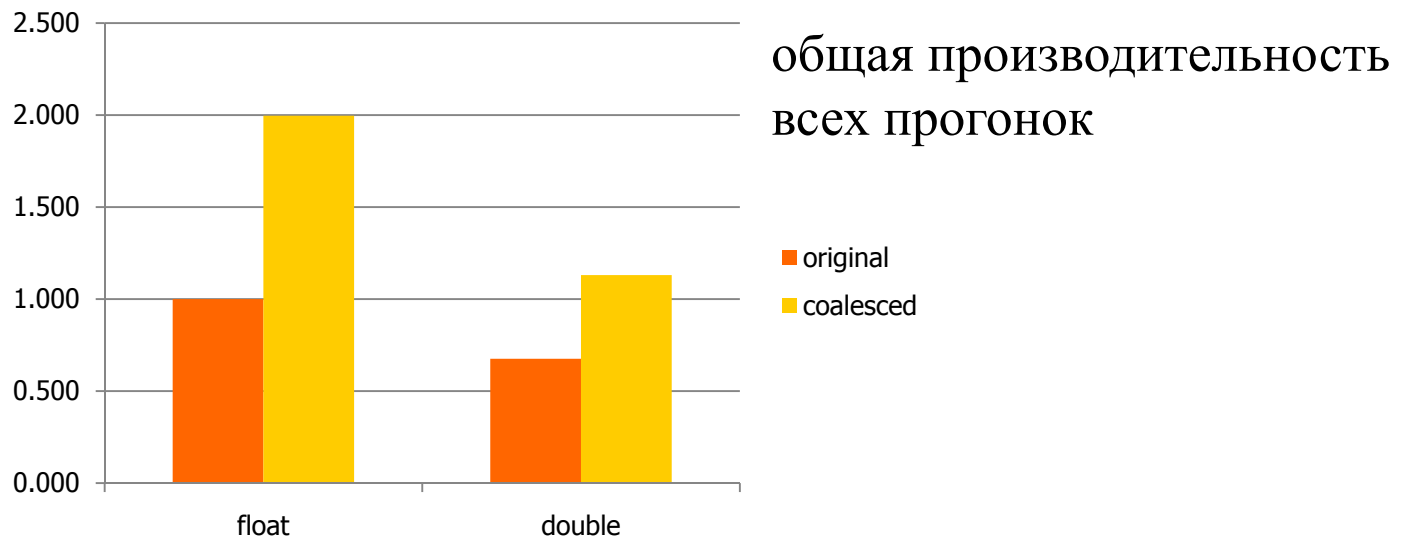
⌘ Y, Z – прогонки **coalesced**

⌘ X – прогонка **uncoalesced!**

# Оптимизация прогонки

⌘ X – прогонка

☒ Транспонируем входные массивы и запускаем Y-прогонку



# Расчет диссипации



- ⌘ Расчет частных производных по трем направлениям
  - ☑ Локальный доступ к памяти
- ⌘ Каждая нить обрабатывает столбец данных
  - ☑ Переиспользование рассчитанных производных
- ⌘ Использование разделяемой памяти (?)

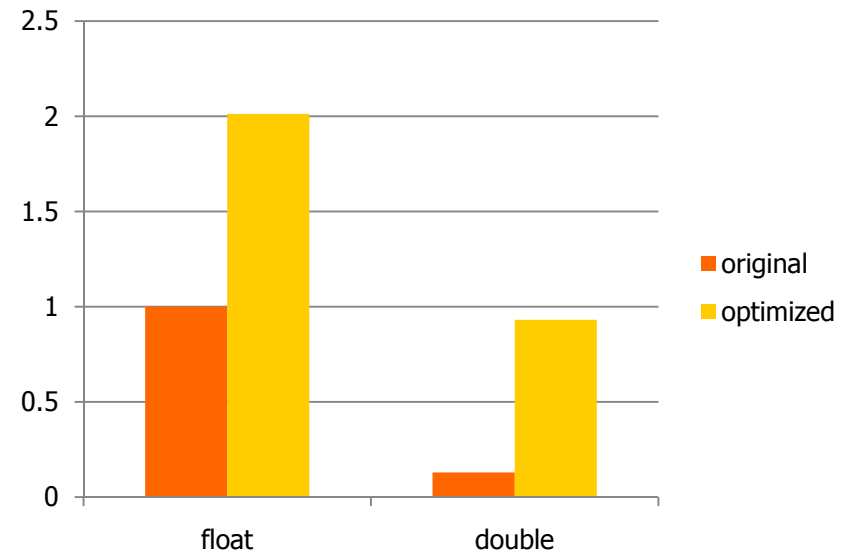
# Оптимизация диссипации

## ⌘ Рефакторинг кода

⏏ Предварительный расчет некоторых констант, избавление от лишних if

## ⌘ C++ шаблоны для X, Y, Z-диссипации

⏏ Уменьшение числа регистров, нет лишних обращений к памяти



# Нелинейные итерации



- ⌘ Необходимо посчитать полусумму двух 3D массивов
- ⌘ Каждая нить считает сразу для столбца данных –  $N^2$  нитей
  - ☑ Все чтения/записи **coalesced**
- ⌘ Оптимальный выбор размера блока
- ⌘ 80% от пиковой пропускной способности на Tesla C1060

# Пример кода

```
// boundary conditions
switch (dir)
{
    case X: case X_as_Y: bc_x0(...); break;
    case Y: bc_y0(...); break;
    case Z: bc_z0(...); break;
}
a[1] = - c1 / c2;
u_next[base_idx] = f_i / c2;

// forward trace of sweep
int idx = base_idx;
int idx_prev;
for (int k = 1; k < n; k++)
{
    idx_prev = idx;
    idx += p.stride;

    double c = v_temp[idx];
    c1 = p.m_c13 * c - p.h;
    c2 = p.m_c2;
    c3 = - p.m_c13 * c - p.h;

    double q = (c3 * a[k] + c2);
    double t = 1 / q;
    a[k+1] = - c1 * t;
    u_next[idx] = (f[idx] - c3 * u_next[idx_prev]) * t;
}
```

# Тест производительности



## ⌘ Тестовые данные

- ☑ Сетка  $128^3$ ,  $192^3$

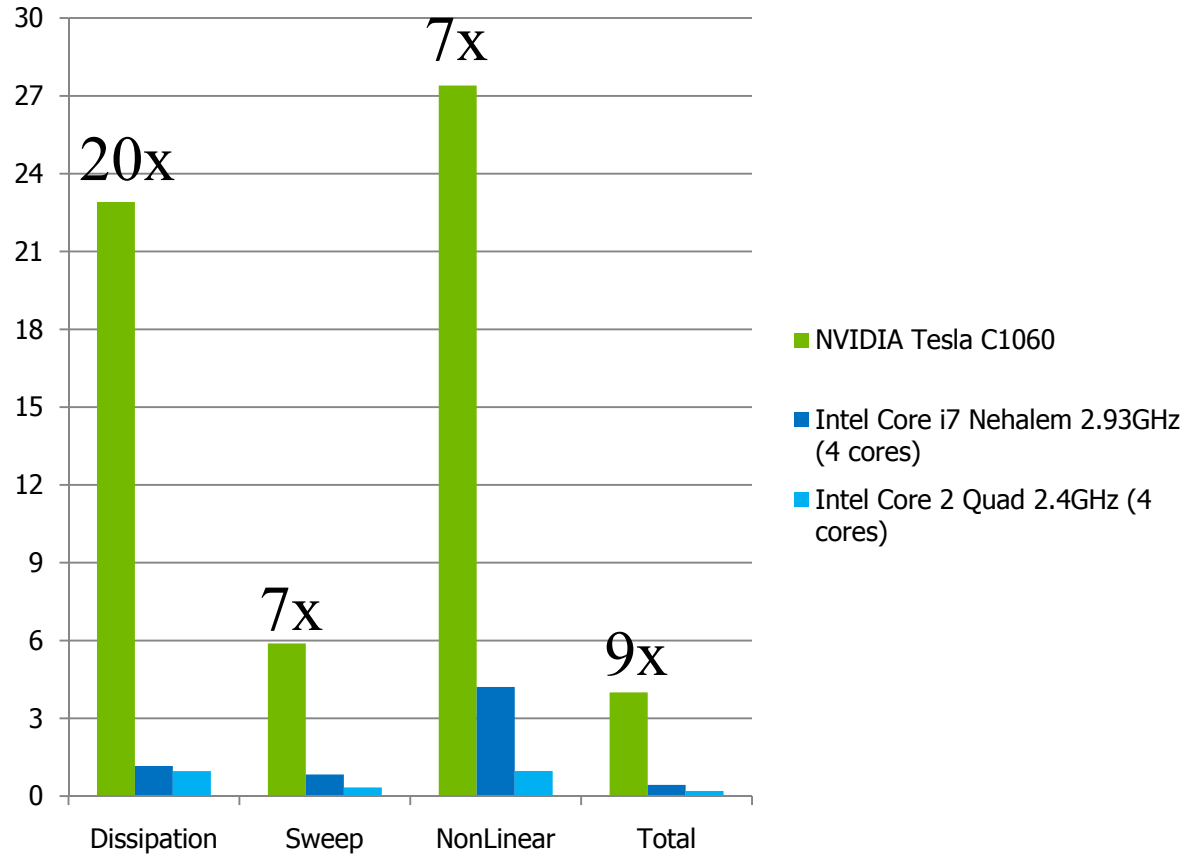
- ☑ 8 нелинейных итераций

## ⌘ Сравнение CPU и GPU

- ☑ Абсолютное время работы

# Tect - 128 - float

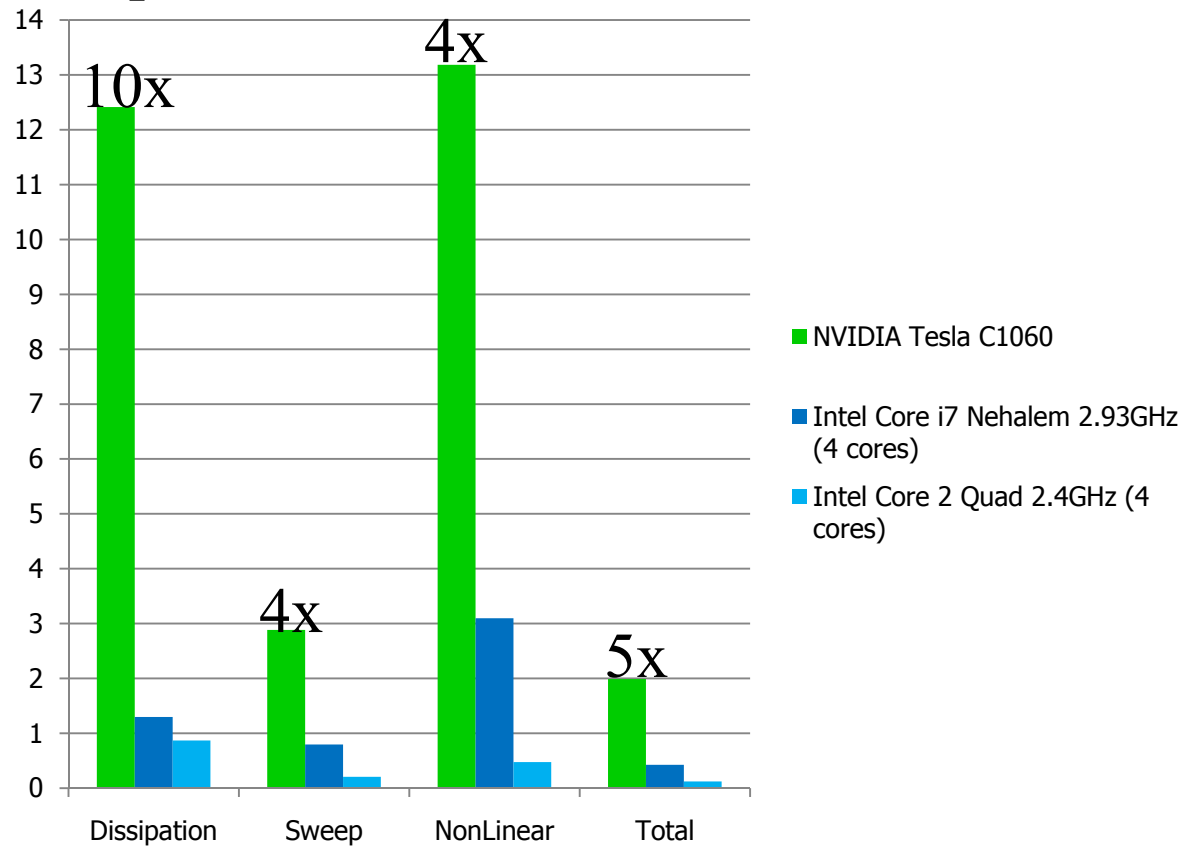
time steps/sec





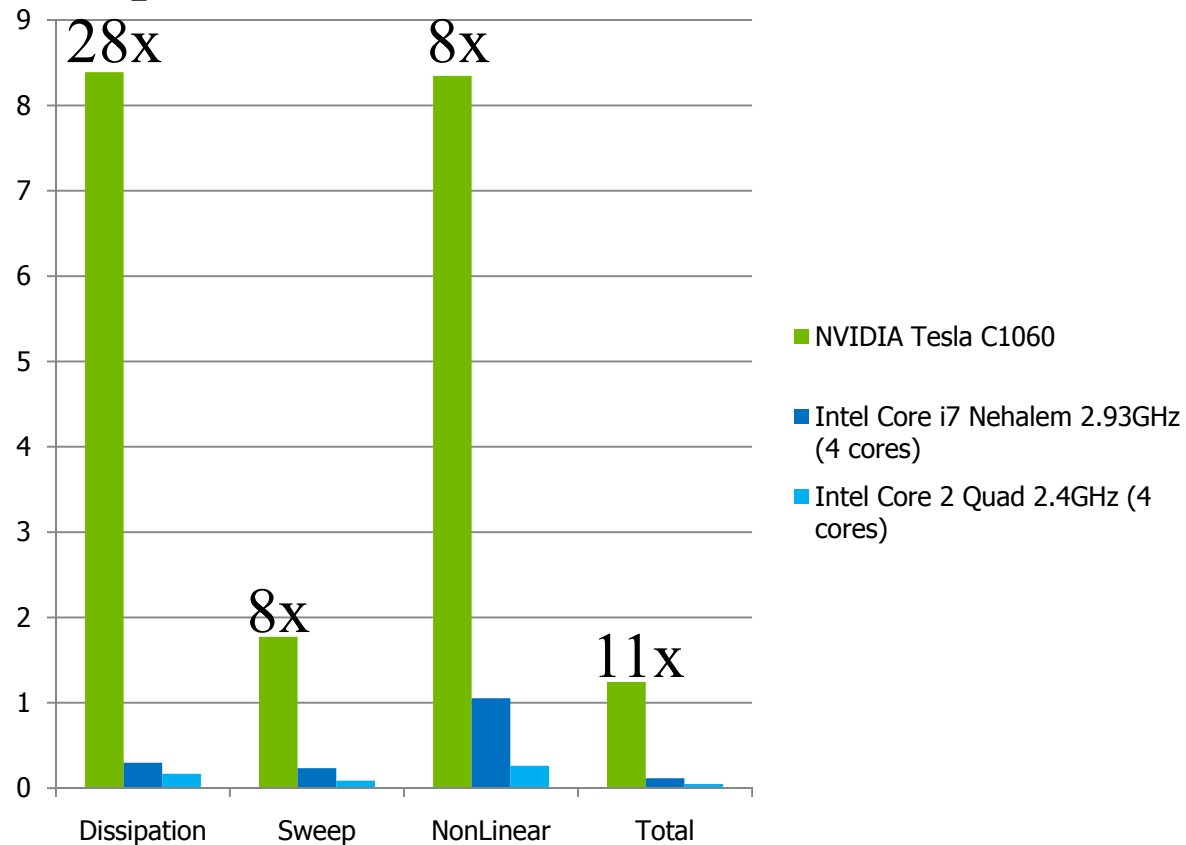
# Tect - 128 - double

time steps/sec



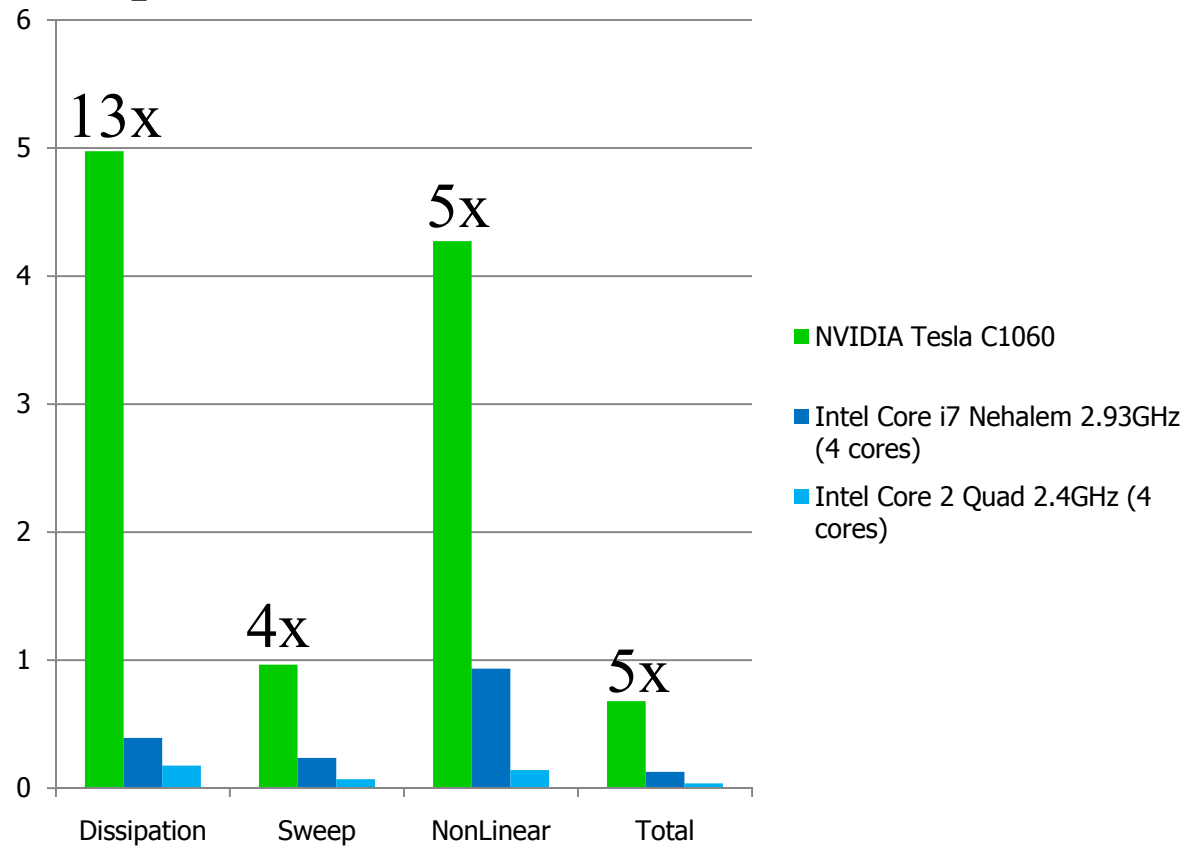
# Tect - 192 - float

time steps/sec

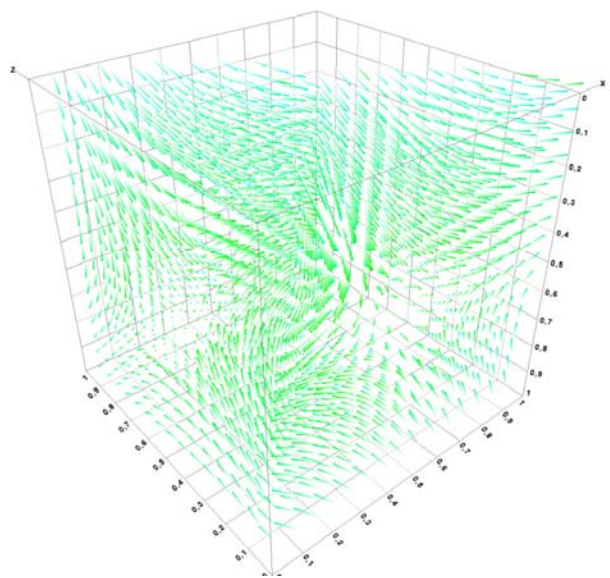


# Tect - 192 - double

time steps/sec

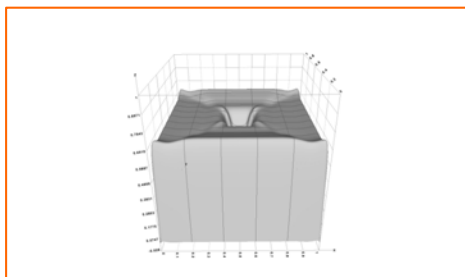


# Визуализация

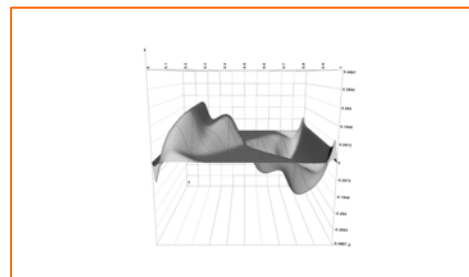


Векторное поле  
скоростей

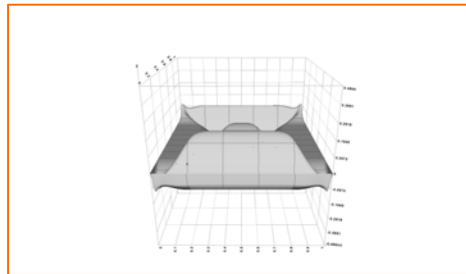
u



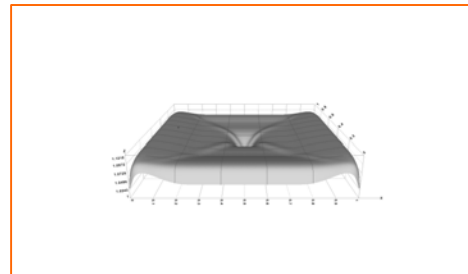
v



w



T



Срез вдоль X

# Выводы



- ⌘ Высокая эффективность Tesla в задачах аэро-гидродинамики
- ⌘ Программная модель CUDA – удобное средство утилизации ресурсов GPU
- ⌘ Применение GPU открывает новые возможности для исследования

# Вопросы

